

บทที่ 4

ผลการทดลองและอภิปรายผลการทดลอง

สารสกัดแอนโธไซยานินส์จากใบผีเสื้อราตรี

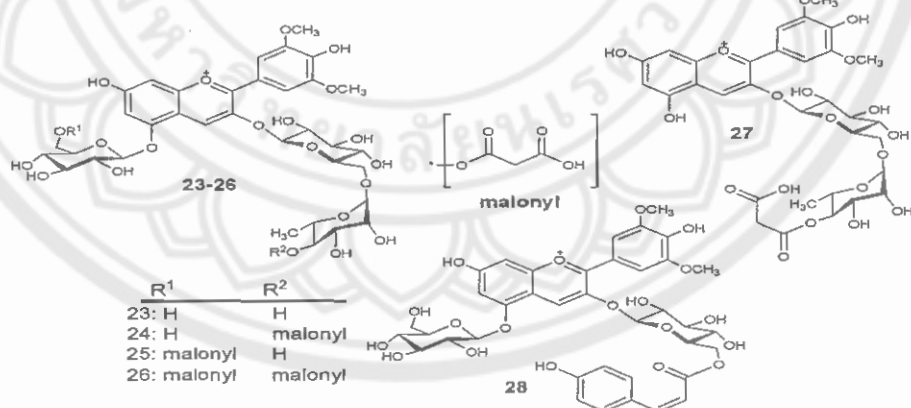
ผีเสื้อราตรี มีชื่อวิทยาศาสตร์ คือ *Oxalis triangularis* สกุล *Oxalis* มาจากภาษากรีก oxys แปลว่า acid หรือความเป็นกรด เป็นสกุลไม้ล้มลุกขนาดเล็ก มีจำนวนมากกว่า 700 ชนิด กระจายพันธุ์อยู่ทั่วโลก โดยเฉพาะแถบอเมริกาใต้ และริการได้ ลักษณะเด่นคือมีใบเป็นใบประกอบแบบ 3 ใบย่อย แผ่นใบเรียบหัวใจกลับ ไม่หนาหรือบางมาก ผิวใบด้านบนสีม่วงเข้ม เนื่องจากผีเสื้อราตรีมีรูปร่างของใบและดอกสวยงาม จึงนิยมปลูกเป็นไม้ประดับตกแต่งอาคาร นอกจากนี้ยังมีผู้นำมาใช้เป็นสมุนไพรรักษาอาการอักเสบ (สมเพียร เกษมทรัพย์, 2540)



ภาพ 26 ต้นผีเสื้อราตรี

จากการศึกษาโครงสร้างทางเคมีของสารสีที่สกัดได้จากใบผีเสื้อราตรีของ Pazmiño-Durán, E.A., et.al. (2001) พบร่วมต่อในน้ำหนักใบ 100 กรัม ต่อมมา Fosset, T., et. al. (2005) ได้ทำการแยกบริสุทธิ์สารสีที่สกัดได้จากใบผีเสื้อราตรีด้วยเทคนิค HPLC จากนั้นทำการพิสูจน์โครงสร้างด้วยเทคนิค 2D NMR spectroscopy และ Electrospray MS พบร่วมสามารถแยกสารประกอบ malvidins ได้ 7 ชนิด คือ

1. malvidin-3-O-(6-O-(4-O-malonyl- α -rhamnopyranosyl)- β -glucopyranoside)-5-O- β -glucopyranoside (23)
2. malvidin-3-O-(6-O- α -rhamnopyranosyl- β -glucopyranoside)-5-O-(6-O-malonyl- β -glucopyranoside) (24)
3. malvidin-3-O-(6-O-(4-O-malonyl- α -rhamnopyranosyl)- β -glucopyranoside)-5-O-(6-O-malonyl- β -glucopyranoside) (25)
4. malvidin-3-O-(6-O-(4-O-malonyl- α -rhamnopyranosyl)- β -glucopyranoside) (26)
5. malvidin-3-O-(6-O-(Z)-*p*-coumaroyl- β -glucopyranoside)-5-O- β -glucopyranoside (27)
6. malvidin-3-O-(6-O- α -rhamnopyranosyl- β -glucopyranoside)-5-O- β -glucopyranoside (28)
7. malvidin-3-O-(6-O-(E)-*p*-coumaroyl- β -glucopyranoside)-5-O- β -glucopyranoside (29) มีโครงสร้างทางเคมีคล้ายกับสารประกอบ (28) แต่มีส่วนของหมู่ acyl เป็นรูปแบบ Z isomer



ภาพ 27 โครงสร้างทางเคมีของสารประกอบแอนโกลิยาโนนส์ที่แยกได้จากในข้องต้นผึ้งเสือราชรี (*Oxalis triangularis*)

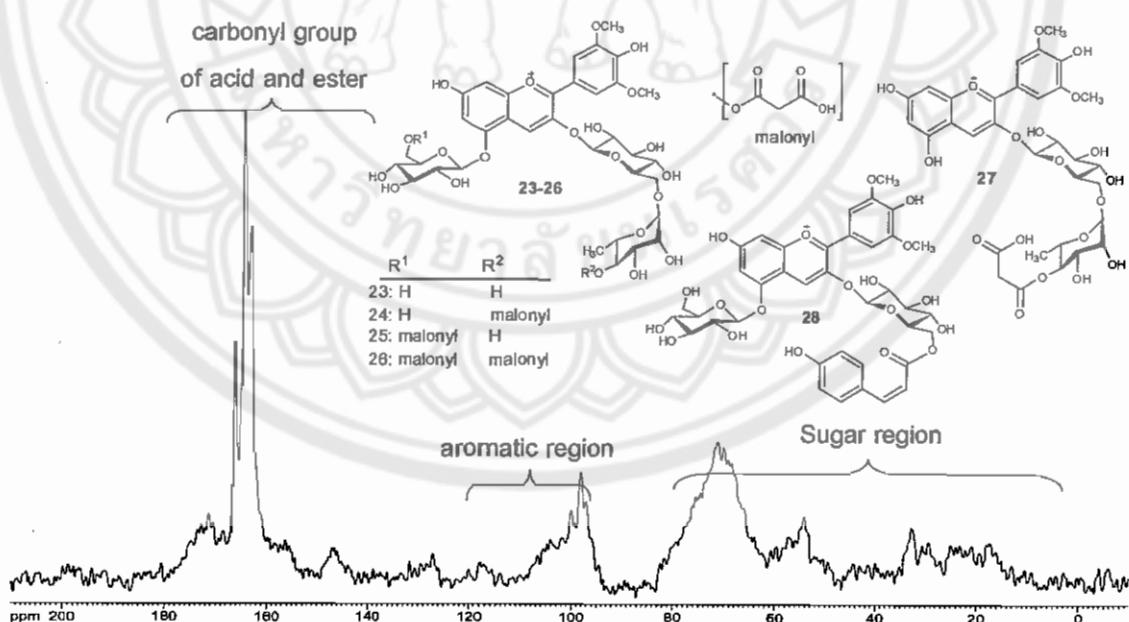
ที่มา: Fossen, T., et. al., 2005

1. การสกัดสารเอนไซนานินส์จากใบผีเสื้อราตรี

สารละลายน้ำของสารสกัดจากใบต้นผีเสื้อราตรี (*Oxalis triangulalis*) มีสีม่วงเข้ม น้ำมันมาทำให้เป็นผงของแข็งด้วยเครื่องทำแห้งเยือกแข็งสูญญากาศ (Freeze Drying) ผงของแข็งของสารสกัดที่ได้นี้จะเป็นผงสีม่วงเข้ม (ภาพ 28) เก็บไว้ที่อุณหภูมิ 4 องศาเซลเซียส ยังคงสภาพที่ดี พร้อมแก่การนำไปใช้ในขั้นตอนต่อไป

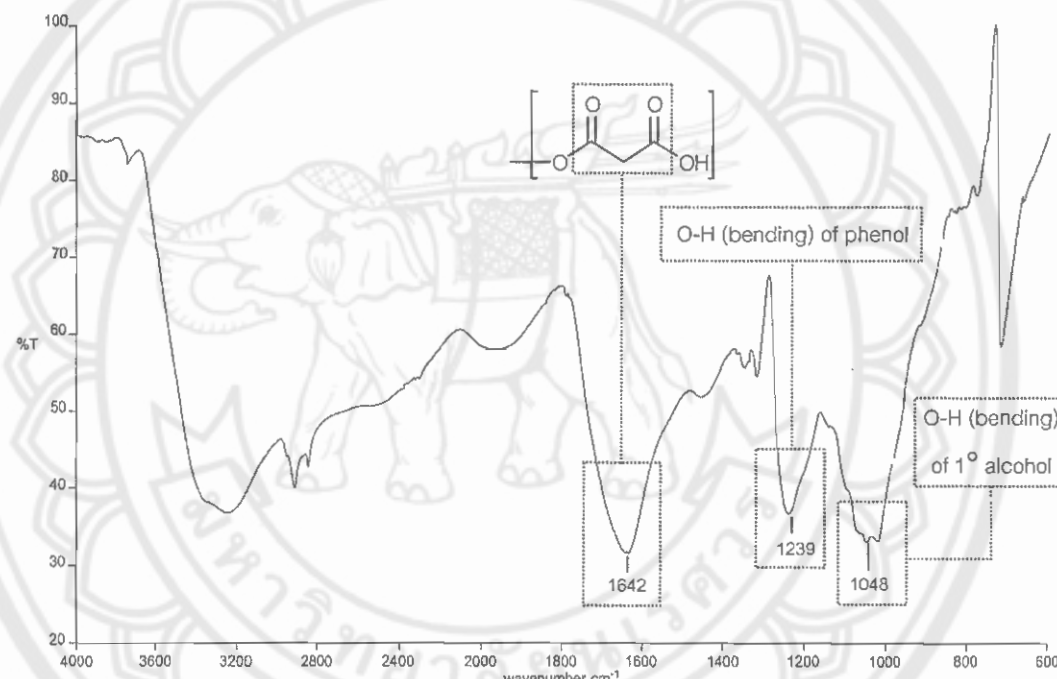


ภาพ 28 ขั้นตอนการสกัด และเตรียมสารสกัดจากใบผีเสื้อราตรี



ภาพ 29 ^{13}C NMR สเปกตรัมของสารเอนไซนานินส์ที่สกัดได้จากใบผีเสื้อราตรี (solids state)

ผลจากการพิสูจน์เอกลักษณ์ของสารแอนโธไซยานินส์ที่สกัดได้จากใบผีเสื้อราตรีด้วยเทคนิค ^{13}C NMR spectroscopy (ภาพ 29) จะปรากฏกลุ่มสัญญาณอยู่ 3 กลุ่ม โดยกลุ่มแรกอยู่ในช่วง 180 - 140 ppm เป็นกลุ่มสัญญาณหมู่คาร์บอนิลของหมู่ฟังก์ชันคาร์บօகซิลิก แอซิด และເອສເທອຣ ກຸ່ມທີ່ສອງຈະອູ່ໃນช่วง 120 - 100 ຊື່ເປັນກຸ່ມສัญญาณຂອງໂຄຮສ້ວາງໃນສ່ວນຂະໂຣມາຕິກ ໂດຍສ່ວນນີ້ເປັນສ່ວນສໍາຄັນທີ່ທຳໄຫ້ສາງປະກອບມືສີ ແລະເກີດກາເປົ້າຢັ້ງແປ່ງສີໄດ້ສໍາຮັບສัญญาณກຸ່ມທີ່ສາມຈະອູ່ໃນช่วง 80 - 10 ppm ຊື່ເປັນກຸ່ມສัญญาณຂອງໂຄຮສ້ວາງສ່ວນນໍ້າດາລ ຊື່ໃນສ່ວນນີ້ນັ້ນຈະເປັນສ່ວນສໍາຄັນທີ່ຈະຊ່ວຍໄຫ້ສີຂອງສາງປະກອບມືເສດຖຽກພາດດີເຊັ່ນ



ກາພ 30 FT-IR ສເປັກດັ່ງຂອງຂອງสารແອນໂຫ້ຍານິນສີທີ່ສັກດີໄຈກໃບຜິເສື້ອຮາຕີ

ผลจากการพิสูจน์เอกลักษณ์ของสารแอนໂຫ້ຍານินส์ที่สັກດີໄຈກໃບຜິເສື້ອຮາຕີด້ວຍเทคนิค IR spectroscopy (ກາພ 30) ຈະປາກງົບສัญญาณ C=O stretching ທີ່ເປັນສัญญาณເອກລັກຂົນໂຄຮສ້ວາງທາງເຄມືຂອງหมູ່ຄົວບອນິລຂອງหมູ່ຟັງກິນຄົວບອກຊີລິກແອຊິດ ທີ່ຕຳແໜ່ງ 1642 cm^{-1} ແລະນອກຈາກນີ້ຍັງປາກງົບສัญญาณ O-H bending ທີ່ເປັນສัญญาณເອກລັກຂົນຂອງອນຸພັນຮີ ພິນອລທີ່ຕຳແໜ່ງ 1239 cm^{-1} ແລະດັ່ງນັ້ນ O-H bending ຂອງ 1° ແອດກອຍອລທີ່ຕຳແໜ່ງ 1048 cm^{-1} ດ້ວຍ

2. ทดสอบสมบัติการเปลี่ยนสีของสารสกัดแอนโธไซยาโนนส์จากใบผีเสื้อราตรี

เมื่อนำสารสกัดแอนโธไซยาโนนส์จากใบผีเสื้อราตรี 4% ในน้ำกลิ่น ทดสอบการเปลี่ยนสีด้วยสารละลายบัฟเฟอร์ pH 4.5 และ 5.0 จากนั้นทดสอบต่อด้วยเทคนิค spectrophotometry เพื่อหาค่าสี โดยใช้การวัดสีในระบบ CIELAB เพื่อวัดค่า L^* , a^* , b^* ซึ่งใช้โปรแกรมทางคอมพิวเตอร์ช่วยในการคำนวณ แสดงผลดังตาราง 5 และคำนวณหาค่าของความแตกต่างโดยรวมของสีจากสมการ (Francis, Fj., 1983)

$$\text{Total color difference (TCD, } \Delta E) = [(L^*_1 - L^*_2)^2 + (a^*_1 - a^*_2)^2 + (b^*_1 - b^*_2)^2]^{1/2}$$

โดยที่

L^*_1 , a^*_1 และ b^*_1 คือ ค่าความสว่าง ค่าความแดง และค่าความเหลืองของสีที่ 1

L^*_2 , a^*_2 และ b^*_2 คือ ค่าความสว่าง ค่าความแดง และค่าความเหลืองของสีที่ 2

ตาราง 5 ค่าสี (L^* , a^* , b^*) ของสารสกัดแอนโธไซยาโนนส์ที่ทดสอบด้วยสารละลายบัฟเฟอร์ pH 4.5 และ 5.0

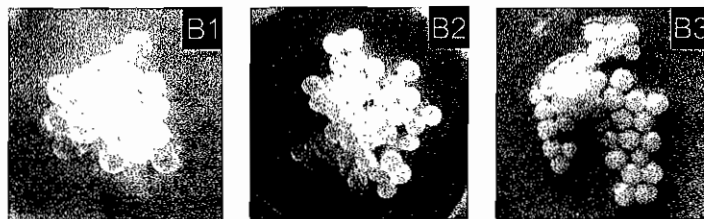
ตัวอย่าง	ผลการทดลอง		
	L^*	a^*	b^*
สารละลายบัฟเฟอร์ที่ pH 4.5 ครั้งที่ 1	41.09	13.64	13.63
สารละลายบัฟเฟอร์ที่ pH 4.5 ครั้งที่ 2	48.24	12.50	13.87
สารละลายบัฟเฟอร์ที่ pH 4.5 ครั้งที่ 3	47.50	13.18	14.27
สารละลายบัฟเฟอร์ที่ pH 5.0 ครั้งที่ 1	48.68	10.26	15.06
สารละลายบัฟเฟอร์ที่ pH 5.0 ครั้งที่ 2	50.73	10.39	14.92
สารละลายบัฟเฟอร์ที่ pH 5.0 ครั้งที่ 3	49.90	10.15	15.35

เมื่อพิจารณาค่าความแตกต่างโดยรวมของสี (TCD) ซึ่งตาของมนุษย์จะสามารถสังเกตเห็นความแตกต่างโดยรวมของสีได้เมื่อมีค่ามากกว่า 5 และจะสามารถแยกแยะสีได้เมื่อค่าความแตกต่างโดยรวมของสีมีค่ามากกว่า 12 (Francis, Fj., 1983) จากผลการทดสอบที่ได้เมื่อคำนวณหาความแตกต่างโดยรวมของสีระหว่างสารสกัดแอนโชนิโน่ที่ทดสอบด้วยสารละลายบัฟเฟอร์ pH 4.5 และ 5.0 พบร่วมกัน 5.0 พบว่า สีของสารละลายทั้งสองนั้นมีค่าความแตกต่างโดยรวมของสีเท่ากับ 5.29 โดยที่มีค่าเบี่ยงเบนมาตรฐานเท่ากับ 2.73 ซึ่งความแตกต่างโดยรวมของสีนี้อยู่ในระดับที่ตาของมนุษย์สามารถสังเกตเห็นความแตกต่างโดยรวมของสีได้แต่ไม่สามารถแยกแยะสีได้ด้วยตาเปล่า

จากการพิสูจน์เอกสารชั้นของสารสกัดแอนโชนิโน่ที่สกัดได้จากใบผีเสื้อราตรีนี้พบว่า มีความสอดคล้องกับงานวิจัยของ Fossen (2005) โดยสารแอนโชนิโน่ที่สกัดได้จากใบผีเสื้อราตรีจะมีหมู่ของ malonyl (-OCOCH₂COOH) เชื่อมต่อกับส่วนของน้ำตาลซึ่งเกาะอยู่กับคาร์บอนตำแหน่งที่ 3 และ 5 ของสารแอนโชนิโน่ ทำให้สารที่สกัดได้จากใบผีเสื้อราตรีมีสภาพความเป็นกรดสูง ($\text{pH} = 1.9$) ส่งผลกระทบกวนถึงสภาพความเป็นกรดของผลิตภัณฑ์แทนน์ตัวอย่างที่นำมาทำการทดสอบ ($\text{pH} = 4.5$) ซึ่งนับว่าเป็นอุปสรรคและปัญหาที่สำคัญต่อการนำเอาสารสกัดแอนโชนิโน่ที่สกัดได้จากใบผีเสื้อราตรีนี้ไปใช้เป็นตัวชี้วัดค่าความเป็นกรดในผลิตภัณฑ์อาหารหมักประเภทแทนน์โดยตรง อีกทั้งงานวิจัยนี้มีวัตถุประสงค์ที่จะพัฒนาวัสดุรีวิภาพจากธรรมชาติ เพื่อให้เป็นตัวชี้วัดความปลดปล่อยต่อการบริโภคผลิตภัณฑ์อาหารหมัก ดังนั้นงานวิจัยนี้จึงได้ทำการปรับปรุงให้สารแอนโชนิโน่เกิดการเปลี่ยนสีที่สามารถสังเกตเห็นความแตกต่างได้อย่างชัดเจน บนวัสดุจับยึดที่มีรูปแบบเหมาะสม และสะดวกต่อการนำไปใช้เป็นตัวชี้วัดความปลดปล่อยต่อการบริโภคผลิตภัณฑ์อาหารหมักต่อไป

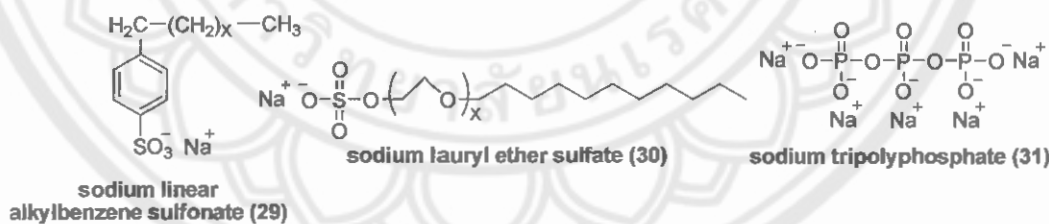
การเตรียมเม็ดไคโตซาน

งานวิจัยนี้ได้เลือกใช้โพลิเมอร์ชีวภาพไคโตซาน มาทำการศึกษาพัฒนาและปรับปรุงให้เป็นวัสดุจับยึดกับสารสีแอนโชนิโน่ เพื่อนำไปใช้เป็นตัวชี้วัดความปลดปล่อยต่อการบริโภคผลิตภัณฑ์อาหารหมัก ไคโตซานนับว่าเป็นโพลิเมอร์ชีวภาพที่มีหมู่อะมิโน ($-\text{NH}_2$) ซึ่งสามารถเกิดปฏิกิริยาสร้างพันธะเชื่อมต่อกับหมู่ malonyl ที่มีความเป็นกรดของสารแอนโชนิโน่ได้ดังนั้นผลจากการทำปฏิกิริยานี้ที่จะสามารถเชื่อมต่อสารแอนโชนิโน่กับวัสดุจับยึดได้โดยคงความสามารถในการเป็นขินติเคเตอร์ตั้งเดิมและช่วยลดความเป็นกรดของสารสกัดแอนโชนิโน่



ภาพ 31 เปรียบเทียบเม็ดໄโคໂຕზານที่เตรียมด้วยวิธีต่างๆ

สำหรับกลไกการเกิดเม็ดໄโคໂຕზານนั้น อาจเกิดจากໄโคໂຕზານเป็นสารที่ไม่ละลายในเบส เมื่อหยดสารละลายໄโคໂຕზານลงในสารละลาย surfactant ที่มีความเป็นเบสของ sodium linear alkylbenzene sulfonate (29) และ sodium lauryl ether sulfate (30) ที่รวมกันอยู่ จึงทำให้ໄโคໂຕზານตกตะกอนออกมาเป็นเม็ด และเมื่อใช้เวลาในการเตรียมนานขึ้น สารละลายໄโคໂຕზານที่อยู่ภายในจะเกิดปฏิกิริยา กับสารละลาย surfactant ได้มากขึ้น ໄโคໂຕზานจึงตกตะกอนได้มากขึ้นตามไปด้วย อีกทั้งໄโคໂຕზານนั้นยังมีคุณสมบัติในการดูดซับสาร sodium linear alkylbenzene sulfonate ได้ (Chang, M.Y. and Juang, R.S., 2005) จึงทำให้เม็ดໄโคໂຕზານ (B2) ที่ใช้เวลาในการเตรียมนานกว่า n ที่ หานา แข็งแรง และมีความชุนมากกว่าเม็ดໄโคໂຕზາน (B1)



ภาพ 32 โครงสร้างทางเคมีของ sodium linear alkylbenzene sulfonate (29), sodium lauryl ether sulfate (30) และ sodium tripolyphosphate (31)

เมื่อพิจารณาเม็ดໄโคໂຕზານ (B3) ที่เตรียมได้เปรียบเทียบกับเม็ดໄโคໂຕზາน (B2) พบว่า จะมีลักษณะของเม็ดที่อ่อนนุ่ม โครงสร้างของเม็ดไม่แข็งแรง และเกิดความเสียหายเมื่อได้รับความกระแทบกระเทือนจากแรงกดดันแม่เหล็ก สาเหตุนั้นน่าจะเกิดจากสารละลาย sodium tripolyphosphate (31) ที่ใช้ในการเตรียมเม็ดໄโคໂຕზາนนั้น ไม่มี sodium linear alkylbenzene

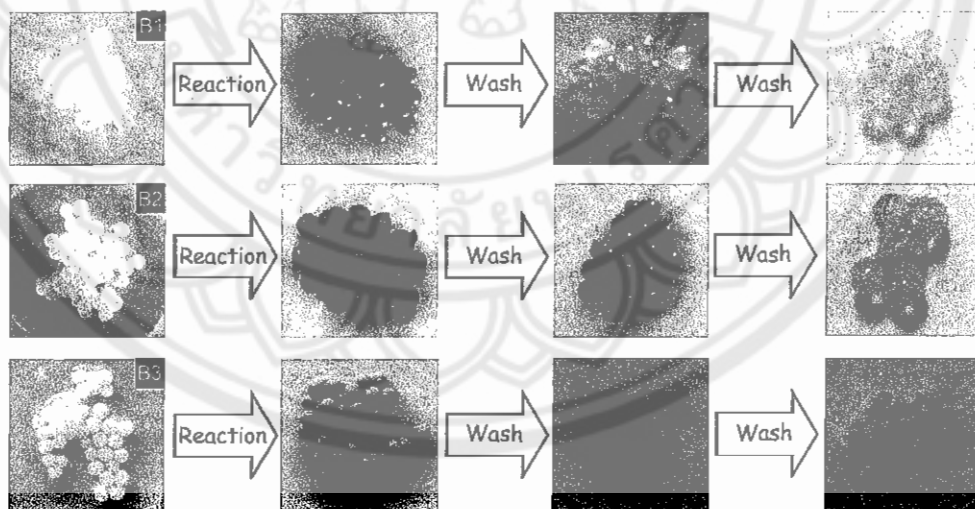
sulfonate เป็นองค์ประกอบหนึ่งส่วนของโมโนติกซ์ของ alkylbenzene นี้่าจะเป็นส่วนสำคัญที่ช่วยเพิ่มความแข็งแรงของเม็ดไคโตซาน

การเตรียมเม็ดสารประกอบแอนโไฮเดรียนส์-ไคโตซาน

เนื่องจากงานวิจัยนี้มีวัตถุประสงค์ที่จะพัฒนาและปรับปรุงตัวชี้วัดความปลดภัยต่อการบริโภคของผลิตภัณฑ์อาหารหมักจากสารแอนโไฮเดรียนส์โดยมีเม็ดไคโตซานเป็นตัวจับยึดตั้งนั้นงานวิจัยนี้จึงทำการศึกษาปฏิกริยาที่ทำให้สารแอนโไฮเดรียนส์สามารถจับยึดบนเม็ดไคโตซานได้ดังรายละเอียดต่อไปนี้

1. การเตรียมเม็ดสารประกอบแอนโไฮเดรียนส์-ไคโตซานโดยไม่ใช้ตัวเร่งปฏิกริยา

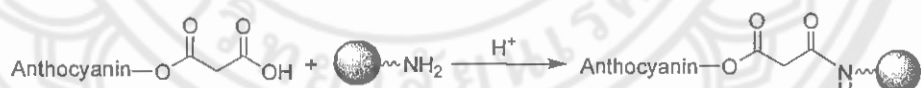
ในการทดลองนี้จะทำการเตรียมเม็ดสารประกอบแอนโไฮเดรียนส์-ไคโตซานจากเม็ดไคโตซาน (B1), (B2) และ (B3) ที่ได้เตรียมขึ้น ซึ่งเป็นการทำปฏิกริยากันระหว่างหมู่อะมิโนบนไคโตซานกับหมู่ malonyl ของแอนโไฮเดรียนส์ ด้วยปฏิกริยา nucleophilic substitution โดยไม่ใช้ตัวเร่งปฏิกริยา ซึ่งสารผลิตภัณฑ์ที่จะเกิดขึ้นนี้ นอกจากจะเป็นการเข้ามต่อสารแอนโไฮเดรียนส์กับไคโตซานด้วยพันธะเคมีแล้ว ยังสามารถลดความเป็นกรดของสารแอนโไฮเดรียนส์อีกด้วย



ภาพ 33 เม็ดสารประกอบแอนโไฮเดรียนส์-ไคโตซานที่เตรียมด้วยเม็ดไคโตซานชนิดต่างๆ

จากผลการทดลองการเติร์ยมเม็ดสารประกอบแอนโคลไซดานินส์-ไคโตซาน จากเม็ดไคโตซาน (B1), (B2) และ (B3) กับสารแอนโคลไซดานินส์ (ภาพ 33) จะพบว่า เม็ดไคโตซาน (B2) ซึ่งมีโครงสร้างของเม็ดที่แข็งแรง สามารถจับยึดสารแอนโคลไซดานินส์ได้ดี โดยให้สีเข้มมาก ที่สุด และเมื่อทำการล้างเม็ดสารประกอบแอนโคลไซดานินส์ที่เติร์ยมได้ด้วยน้ำกลั่นเป็นเวลาเท่ากัน จะพบว่า เม็ดไคโตซาน (B2) ยังมีความสามารถในการจับยึดสารแอนโคลไซดานินส์ได้ดีกว่าเม็ดไคโตซาน (B1) และ (B3) แต่เมื่อทำการล้างเม็ดสารประกอบแอนโคลไซดานินส์-ไคโตซานต่อไป จะพบว่าสีของแอนโคลไซดานินส์บนเม็ดไคโตซาน (B2) ก็หลุดออกและละลายไปกับน้ำล้างจนได้ เม็ดสารประกอบแอนโคลไซดานินส์-ไคโตซานที่มีสีจางใกล้เคียงกับเม็ดไคโตซาน (B1) และ (B3) จากความสามารถในการจับยึดสารแอนโคลไซดานินส์ของเม็ดไคโตซาน (B2) ที่ดี และนานกว่าเม็ดไคโตซาน (B1) และ (B3) ดังนั้น เม็ดไคโตซาน (B2) จึงมีความสามารถที่จะนำไปใช้ในการพัฒนา และปรับปรุงให้เกิดการจับยึดของสารแอนโколไซดานินส์บนเม็ดไคโตซานเพื่อใช้เป็นตัวชี้วัด ความปลอดภัยต่อการบริโภคของผลิตภัณฑ์อาหารมักต่อไป

2. การเติร์ยมเม็ดสารประกอบแอนโколไซดานินส์-ไคโตซาน โดยใช้กรดเป็นตัวเร่งปฏิกิริยา
ในการทดลองนี้จะทำการเติร์ยมเม็ดสารประกอบแอนโколไซดานินส์-ไคโตซาน
ซึ่งเป็นการทำปฏิกิริยากันระหว่างหมู่อะมิโนบนไคโตซานกับหมู่ malonic acid ของแอนโколไซดานินส์ ด้วยปฏิกิริยา nucleophilic substitution จากเม็ดไคโตซาน (B2) โดยใช้กรดเป็นตัวเร่งปฏิกิริยา (ภาพ 34)



ภาพ 34 รูปแบบปฏิกิริยา nucleophilic substitution ระหว่างหมู่อะมิโนของ
ไคโตซานกับหมู่ malonic acid ของแอนโколไซดานินส์

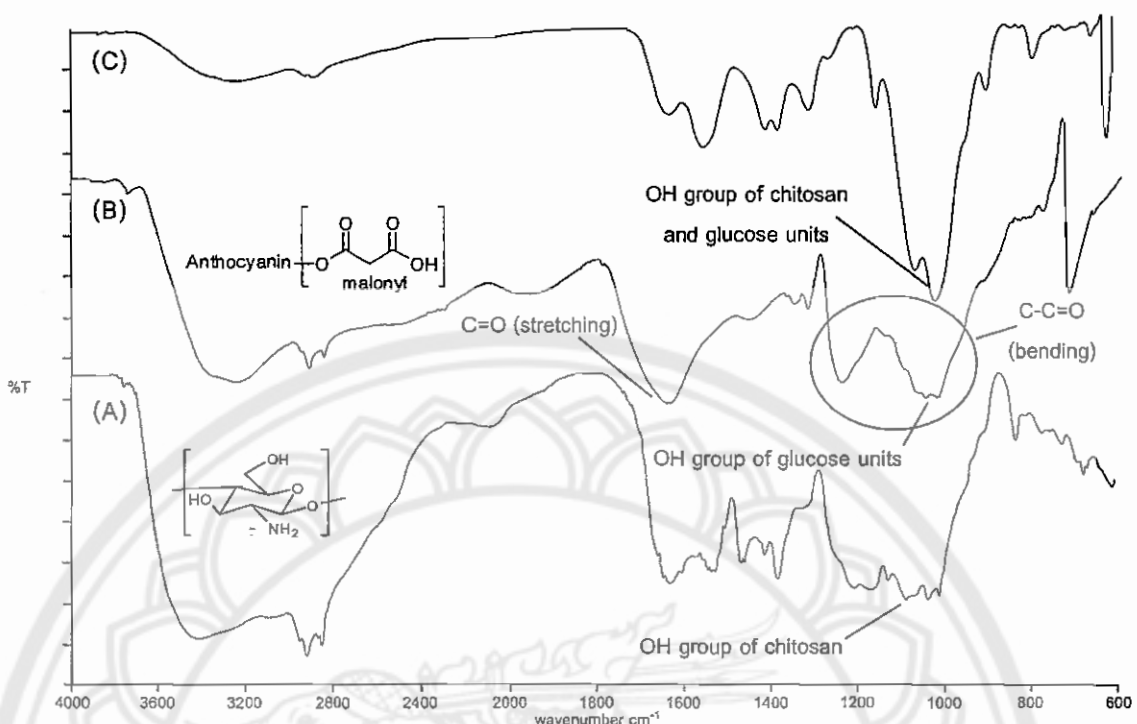
ในการศึกษาครั้งนี้ จะทำการเติร์ยมเม็ดสารประกอบแอนโколไซดานินส์-ไคโตซานจาก เม็ดไคโตซาน (B2) โดยใช้กรดเป็นตัวเร่งปฏิกิริยา ซึ่งสารละลายกรดที่เลือกมาศึกษาในครั้งนี้ ได้แก่ กรดซัลฟิวริก, กรดไฮド록ซิลิก, กรดอะซิติก, กรดไดรฟลูอิโรอะซิติก และกรดฟอสฟอริกที่ ความเข้มข้นต่างๆ ตั้งนี้ 0.2, 0.4, 0.6, 0.8 และ 1.0 มอลาร์ ผลการทดลองที่ได้จากการสังเกตสีของ สารแอนโколไซดานินส์ที่จับยึดบนเม็ดไคโตซาน (ภาพ 35) พบว่า เม็ดสารประกอบแอนโколไซดานินส์-

ไฮโดรเจนที่ใช้กรดฟอสฟอริกเป็นตัวเร่งปฏิกิริยา มีความสามารถในการจับยึดสารแอนโไฮเดรียนส์ได้ที่สุด ดังนั้นจึงนำเม็ดสารประกอบแอนโไฮเดรียนส์-ไฮโดรเจนที่ใช้กรดฟอสฟอริกเป็นตัวเร่งปฏิกิริยา ทำการพิสูจน์เอกลักษณ์ด้วยเทคนิค FT-IR spectroscopy และ ^{13}C NMR spectroscopy

Type of Acids	Concentration				
	0.2 M	0.4 M	0.6 M	0.8 M	1.0 M
H_2SO_4					
CH_3COOH					
HCl					
H_3PO_4					
CF_3COOH					

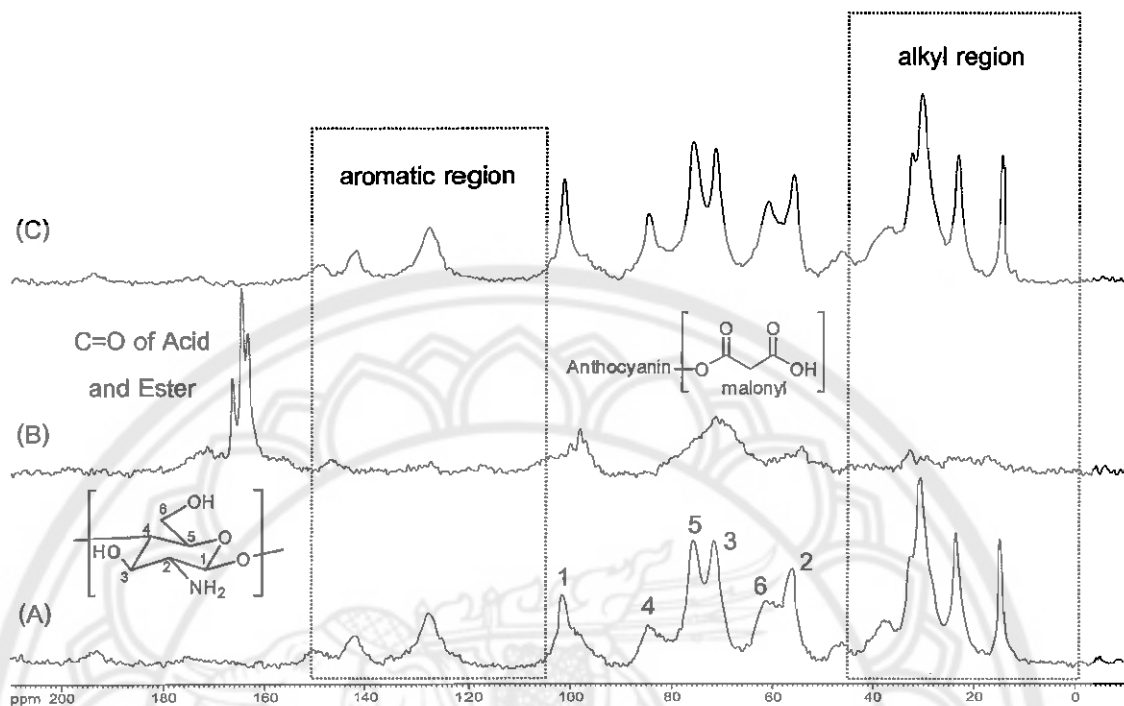
ภาพ 35 ผลของการยึดติดสารแอนโไฮเดรียนส์บนไฮโดรเจน โดยตัวเร่งปฏิกิริยากรดชนิดต่างๆ

จากการศึกษาข้อมูลสเปกตรัมแบบการดูดกลืนแสงของไฮดราซิน ด้วยเทคนิค FT-IR spectroscopy จะพบแบบการดูดกลืนแสงเอกลักษณ์ของเอไมด์ I, II และ III ที่ตำแหน่ง 1660, 1560 และ 1420 cm^{-1} ตามลำดับ (Lee, Y.M., 1993) แต่จากการพิสูจน์เอกลักษณ์ของเม็ดสารประกอบแอนโไฮเดรียนส์-ไฮโดรเจนด้วยเทคนิค FT-IR spectroscopy ไม่ปรากฏแบบการดูดกลืนแสงที่เป็นเอกลักษณ์ของเอไมด์ I, II และ III ที่ใกล้เคียงกับตำแหน่งดังกล่าว



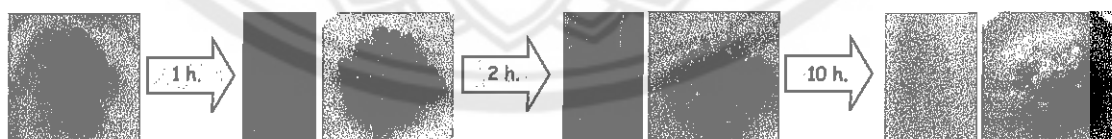
ภาพ 36 เปรียบเทียบ FT-IR สเปกตรัมของเม็ดไคโตซาน (B2) (A),
สารแอนโไฮไซด์ริก-acid (B) และเม็ดสารประกอบแอนโไฮไซด์-
ไคโตซาน (กรดเป็นตัวเร่งปฏิกิริยา) (C)

และจากการศึกษาข้อมูลสเปกตรัมแบบการดูดกลืนแสงของสารประกอบไคตินที่วิเคราะห์ด้วยเทคนิค ¹³C NMR spectroscopy จะพบสัญญาณของสัญญาณหมุนคาร์บอนิลของกลุ่มเอไมด์ ที่ตำแหน่ง 172.8 ppm (Lee, Y.M., 1993) แต่จากการพิสูจน์เอกลักษณ์ของเม็ดสารประกอบแอนโไฮไซด์-ไคโตซานด้วยเทคนิค ¹³C NMR spectroscopy (solids state) ไม่ปรากฏสัญญาณหมุนคาร์บอนิลของกลุ่มเอไมด์ซึ่งใกล้กับตำแหน่ง 172.8 ppm และเมื่อนำไปเปรียบเทียบกับผล ¹³C NMR สเปกตรัมกับเม็ดไคโตซาน ก็พบว่ามีรูปแบบของสเปกตรัมที่คล้ายคลึงกันมาก



ภาพ 37 เปรียบเทียบ ^{13}C NMR สเปกตรัมของเม็ดไคโตไซน์ (B2) (A),
สารแอนโธไซยาณินส์ (B) และเม็ดสารประกอบแอนโธไซยาณินส์-
ไคโตไซน์ (กรดเป็นตัวเร่งปฏิกิริยา) (C) (solids state)

และเมื่อนำเม็ดสารประกอบแอนโธไซยาณินส์-ไคโตไซน์ที่เตรียมได้ไปทำการล้างด้วยน้ำกลัน จะพบว่า สีของแอนโธไซยาณินส์หลุดออกจากเม็ดไคโตไซน์ และละลายไปกับน้ำล้างจนได้เม็ดไคโตไซน์มีสีซีดจางดังภาพ 38



ภาพ 38 เม็ดสารประกอบแอนโธไซยาณินส์-ไคโตไซน์ที่ผ่านการล้างในแต่ละชั่วโมง

จากผลการทดลองที่พบว่าเกิดการหลุดออกซ์ของสารแอนโอลไซยานินส์ที่ถูกจับยึดบนเม็ดไคโตซานเมื่อล้างด้วยน้ำกลั่น ประกอบกับผลการพิสูจน์เอกลักษณ์ของเม็ดสารประกอบแอนโอลไซยานินส์-ไคโตซานด้วยเทคนิค FT-IR spectroscopy และ ^{13}C NMR spectroscopy (solids state) ที่ได้อาจสามารถสรุปได้ว่า การจับยึดสารแอนโอลไซยานินส์บนเม็ดไคโตซาน น่าจะเกิดจากผลของ electrostatic interaction ร่วมกับการเกิดพันธะไฮโดรเจน และแรงแวนเดอร์วაลล์ส มากกว่าการเกิดเป็นพันธะทางเคมีระหว่างหมู่อะมิโนบนไคโตซานกับหมู่ malonic acid ของแอนโอลไซยานินส์

จากการวิจัยของ Cho, et.al. (2004) ที่ได้ศึกษาปฏิกิริยาระหว่างหมู่อะมิโนบนไคโตซานกับหมู่คาร์บอชิลิกของสารอนุพันธ์พีโนอล โดยใช้เอนไซม์ไทโรซีนase (Tyrosinase) เป็นตัวเร่งปฏิกิริยาเพื่อเพิ่มประสิทธิภาพในการดูดซับสารสีที่มีความเป็นกรดให้ได้มากขึ้น ซึ่งจากการวิจัยดังกล่าว น่าจะสามารถนำมาประยุกต์ใช้ในการเพิ่มต่อหมู่อะมิโนของไคโตซานกับหมู่ malonyl ของแอนโอลไซยานินส์เพื่อพัฒนาให้สารแอนโอลไซยานินส์สามารถจับยึดบนเม็ดไคโตซานได้ดีขึ้น เช่นเดียวกัน

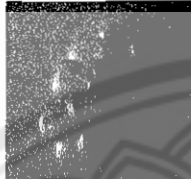
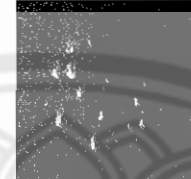
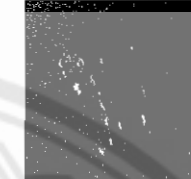
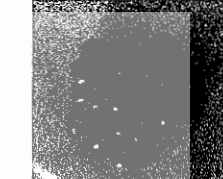
3. การเตรียมเม็ดสารประกอบแอนโอลไซยานินส์-ไคโตซานโดยใช้เอนไซม์ไทโรซีนase (Tyrosinase) เป็นตัวเร่งปฏิกิริยา

ไทโรซีนase เป็นเอนไซม์ที่สามารถเร่งปฏิกิริยาออกซิเดชันของสารในกลุ่มฟีโนอล และมีโลหะ copper ทำหน้าที่เป็นสารโคเอนไซม์ โดยเอนไซม์ไทโรซีนase จะมีหน้าที่สร้างเม็ดสีให้ผิวนาง ผม และติด ในส่วนเลี้ยงลูกด้วยนม ส่วนในพืชและผลไม้ เอนไซม์ไทโรซีนจะเกี่ยวข้องกับกระบวนการเกิดสีหมองคล้ำ เมื่อถูกกระแทกหรือขีดข่วน เป็นต้น

ตาราง 6 เม็ดสารประกอบแอนโอลไซยานินส์-ไคโตซานที่ใช้เอนไซม์ไทโรซีนase เป็นตัวเร่งปฏิกิริยา หลังทำการล้างด้วยน้ำกลั่น

	2 Units	20 Units	100 Units	200 Units
24 hr.				

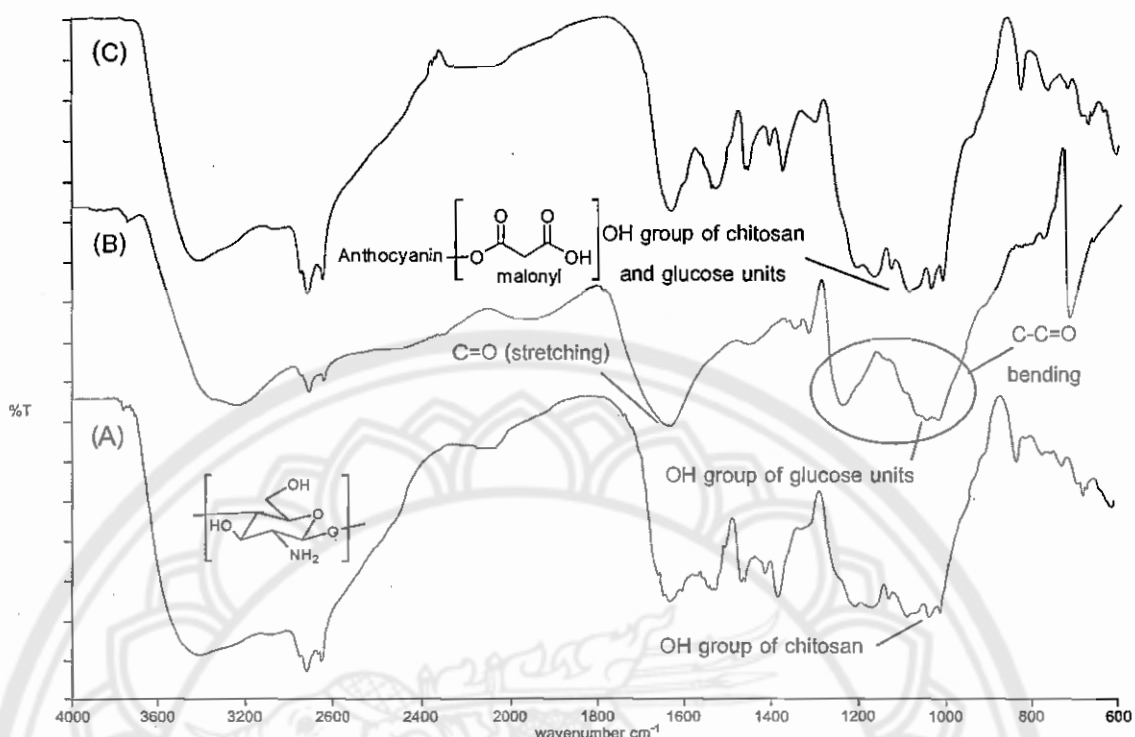
ตาราง 6 (ต่อ)

	2 Units	20 Units	100 Units	200 Units
144 hr.				

ในการเตรียมเม็ดสารประกอบแอนโธไซยานินส์-ไคโตซานโดยใช้เอนไซม์ไทโรซีนase (Tyrosinase) เป็นตัวเร่งปฏิกิริยาที่ความเข้มข้น 2, 20, 100 และ 200 Units ที่เวลา 24 และ 144 ชั่วโมง จะได้เม็ดสารประกอบแอนโธไซยานินส์-ไคโตซานที่มีสีขาว (ตาราง 6) โดยจากผลการทดลองพบว่า ความเข้มข้นของเอมไซม์และระยะเวลาในการทำปฏิกิริยาที่เพิ่มขึ้น ไม่ทำให้การติดสีของแอนโธไซยานินส์บนเม็ดไคโตซานดีขึ้น และเมื่อทำการล้างเม็ดสารประกอบแอนโธไซยานินส์-ไคโตซานที่เตรียมได้ด้วยน้ำกลั่น พบว่าสีของสารแอนโธไซยานินส์หลุดออกและละลายไปกับน้ำล้าง ทำให้ได้เม็ดสารประกอบแอนโธไซยานินส์-ไคโตซานที่มีสีด่างลง โดยสาเหตุสำคัญที่ทำให้ปฏิกิริยาระหว่างหมู่อะมิโนบนไคโตซานกับหมู่кар์บอชิลิกของสารแอนโธไซยานินส์ โดยเมื่อเอนไซม์ไทโรซีนase (Tyrosinase) เป็นตัวเร่งปฏิกิริยาเกิดขึ้นได้ในเดือนน้ำจะเกิดจากความเป็นกรดที่สูงของสารละลายแอนโธไซยานินส์เอง ($\text{pH} \sim 2$) โดยเป็นผลมาจากการหมู่ malonyl ที่เป็นองค์ประกอบซึ่งที่ส่วนหนึ่งอาจส่งผลให้เอนไซม์ไทโรซีนase เสื่อมสภาพ หรือหยุดการทำงาน

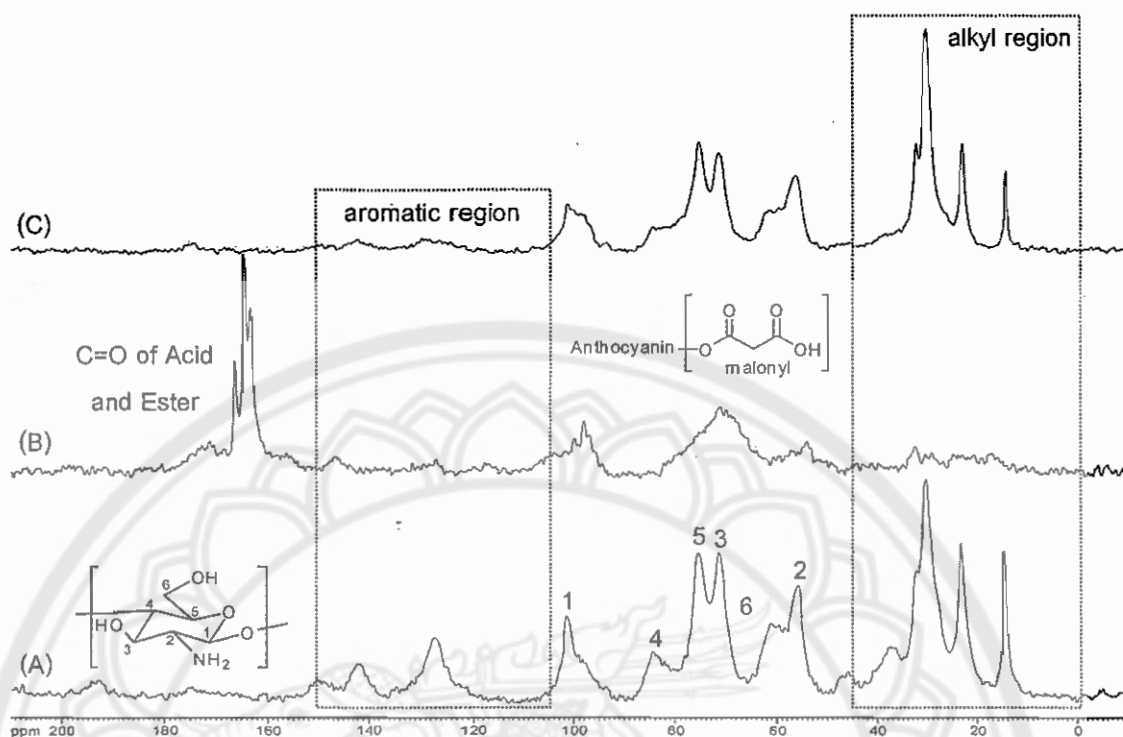
เมื่อนำเม็ดสารประกอบแอนโธไซยานินส์-ไคโตซานที่เตรียมโดยใช้เอนไซม์เป็นตัวเร่งปฏิกิริยานำทำการพิสูจน์เอกลักษณ์ด้วยเทคนิค FT-IR spectroscopy และ ^{13}C NMR spectroscopy ให้ผลการทดลองดังนี้

จากการพิสูจน์เอกลักษณ์เม็ดสารประกอบแอนโธไซยานินส์ด้วยเทคนิค FT-IR spectroscopy (ภาพ 39) พบว่า ไม่ปรากฏแถบการดูดกลืนแสงที่เป็นเอกลักษณ์ของเอมไซด์ I, II, และ III ที่ตำแหน่งใกล้เคียงกับ 1660 , 1560 และ 1420 cm^{-1} ตามลำดับ



ภาพ 39 เปรียบเทียบ FT-IR สเปกตรัมของเม็ดไคโตซาน (B2) (A),
สารเอนโซไซยาโนส์ (B), เม็ดสารประกอบเอนโซไซยาโนส์-
ไคโตซาน (เอนไซม์เป็นตัวเร่งปฏิกิริยา) (C)

จากผลการพิสูจน์เอกลักษณ์ของเม็ดสารประกอบเอนโซไซยาโนส์-ไคโตซานด้วย
เทคนิค ^{13}C NMR spectroscopy (solid state) พบว่า ไม่ปรากฏสัญญาณ $\text{C}=\text{O}$ ของพันธะเอมีด
ขึ้นใกล้เคียงกับตำแหน่ง 172.8 ppm และเมื่อเปรียบเทียบผล ^{13}C NMR สเปกตรัมกับเม็ดไคโตซาน
ก็พบว่า มีรูปแบบของสเปกตรัมที่คล้ายคลึงกันมาก



ภาพ 40 เปรียบเทียบ ^{13}C NMR สเปกตรัมของเม็ดไคโตซาน (B2) (A),
สารแอนโกลไซยาโนนส์ (B) และเม็ดสารประกอบแอนโกลไซยาโนนส์-
ไคโตซาน (เอนไซม์เป็นตัวเร่งปฏิกิริยา) (C) (solids state)

จากผลการทดลองการเตรียมเม็ดสารประกอบแอนโกลไซยาโนนส์-ไคโตซันด้วยเม็ดไคโตซาน (B2) ทั้ง 3 วิธี คือ การเตรียมโดยไม่ใช้ตัวเร่งปฏิกิริยา การเตรียมโดยใช้กรดเป็นตัวเร่งปฏิกิริยา และการเตรียมโดยใช้เอนไซม์เป็นตัวเร่งปฏิกิริยา ทำให้ได้เม็ดสารประกอบแอนโกลไซยาโนนส์-ไคโตซานที่มีสีเข้มใกล้เคียงกัน แต่เมื่อทำการล้างด้วยน้ำกลัน สีของแอนโกลไซยาโนนส์จะเกิดการหลุดออกและละลายไปกับน้ำล้างจนทำให้ได้เม็ดสารประกอบแอนโกลไซยาโนนส์-ไคโตซานมีสีซีดจางคล้ายกัน จึงอาจสรุปได้ว่าการจับยึดของสารแอนโกลไซยาโนนส์บนเม็ดไคโตซานที่เตรียมได้ทั้ง 3 วิธี น่าจะเกิดจากผลของการ electrostatic interaction ร่วมกับการเกิดพันธะไฮโดรเจน และแรงเดอร์วัลล์ มากกว่าการเกิดเป็นพันธะทางเคมีระหว่างหมู่อะมิโนบนไคโตซานกับหมู่ malonic acid ของแอนโกลไซยาโนนส์ ดังนั้นเพื่อให้เป็นการง่ายต่อการเตรียม และประหยัดต้นทุนในกระบวนการผลิตเม็ดสารประกอบแอนโกลไซยาโนนส์-ไคโตซานเป็นตัวชี้วัดความปลอดภัยต่อการบริโภคของผลิตภัณฑ์อาหารมากประเภทแทนน์ จึงได้เลือกใช้วิธีการเตรียมเม็ดสารประกอบแอนโกลไซยาโนนส์-ไคโตซาน โดยการไม่ใช้ตัวเร่งปฏิกิริยา

การศึกษาเม็ดสารประกอบแอนโธไซยานินส์-โคโตชาบที่พัฒนาขึ้น

เมื่อเตรียมเม็ดสารประกอบแอนโธไซยานินส์-โคโตชานได้ ขั้นตอนต่อไปจะเป็นการหาค่าความแตกต่างโดยรวมของสีของเม็ดสารประกอบแอนโธไซยานินส์-โคโตชาบที่เกิดการเปลี่ยนสี เมื่อทดสอบกับสารละลายน้ำฟเฟอร์ pH 4.5 และ 5.0 ด้วยเทคนิค spectrophotometry เพื่อหาค่าสี โดยจะทำการวัดสีในระบบ CIELAB เพื่อวัดค่า L*, a*, b* ซึ่งใช้โปรแกรมทางคอมพิวเตอร์ช่วยในการคำนวณ และคำนวณหาค่าความแตกต่างของสีที่เกิดขึ้น แต่ด้วยข้อจำกัดของเครื่องมือที่สามารถทำการตรวจวัดกับตัวอย่างที่มีขนาดเส้นผ่านศูนย์กลางไม่น้อยกว่า 7 มิลลิเมตรและตัวอย่างนั้นจะต้องมีความแข็งแรงพอที่จะสามารถถอดตัวอย่างมาติดในระหว่างการเตรียมตัวอย่าง ดังนั้นในการทดลองนี้จึงทำการเตรียมเม็ดโคโตชาบ (B4) ซึ่งจะมีขนาดของเม็ดโคโตชาบที่ใหญ่กว่า และแข็งแรงมากขึ้น เมื่อเปรียบเทียบกับเม็ดโคโตชาบ (B2)

งานวิจัยนี้ได้ทำการตรวจวัดเม็ดสารประกอบแอนโธไซยานินส์-โคโตชาบ เพื่อใช้ปัจจัยความความปลดภัยต่อการบริโภคของผลิตภัณฑ์อาหารมักประเภทแห่ม ซึ่งมีเป้าหมายหลักที่จะนำไปใช้ประโยชน์กับกลุ่มบุคคล 2 กลุ่ม คือ ผู้ประกอบการ และผู้บริโภค ดังนั้นขั้นตอนของ การทดสอบประสิทธิภาพ และความสามารถในการเปลี่ยนสีของเม็ดสารประกอบแอนโธไซยานินส์-โคโตชาบ ที่ได้ทำการปรับปรุงและพัฒนาขึ้นนั้น จะมีความเหมาะสมสำหรับนำไปใช้งานกับบุคคลในกลุ่มใด

1. การศึกษาเวลาที่ใช้ในการทดสอบที่เหมาะสมของตัวชี้วัดที่พัฒนาขึ้น

1.1 การศึกษาเวลาที่ใช้ในการทดสอบที่เหมาะสมของตัวชี้วัดที่พัฒนาขึ้น แนวทางที่ 1

การทดลองในแนวทางที่ 1 นี้ถูกออกแบบมาเพื่อทดสอบประสิทธิภาพของตัวชี้วัด ที่ถูกพัฒนาขึ้นว่าจะสามารถตอบสนองต่อความต้องการของผู้ประกอบได้หรือไม่ โดยการนำไปใช้ติดกับบรรจุภัณฑ์ เพื่อดูตามการเปลี่ยนแปลงค่า pH ที่บ่งชี้ถึงความปลดภัยต่อการบริโภค ผลิตภัณฑ์แห่ม ซึ่งจากการทดลอง เมื่อนำเม็ดสารประกอบแอนโธไซยานินส์-โคโตชาบที่เตรียมได้ มาทดสอบการเปลี่ยนสีในสารละลายน้ำฟเฟอร์ เพื่อหาเวลาที่เหมาะสมตามแนวทางที่ 1 จากนั้นทดสอบด้วยเทคนิค spectrophotometry เพื่อหาค่าสี โดยใช้การวัดสีในระบบ CIELAB เพื่อวัดค่า L*, a*, b* ซึ่งใช้โปรแกรมทางคอมพิวเตอร์ช่วยในการคำนวณ ได้ผลการทดลองดังตาราง 7

ตาราง 7 ค่าสี (L^* , a^* , b^*) ของเม็ดสารประกอบแอนโอลไซดานินส์-ไดโตชานที่ทดสอบด้วยสารละลายน้ำฟเฟอร์ pH 4.5 และ 5.0 ที่ระยะเวลาต่างๆ ตามแนวทางที่ 1

ตัวอย่าง	ผลการทดลอง		
	L^*	a^*	b^*
แซ่ในน้ำฟเฟอร์ pH 5.0 เป็นเวลา 20 นาที ครั้งที่ 1	33.70	10.35	9.50
แซ่ในน้ำฟเฟอร์ pH 5.0 เป็นเวลา 20 นาที ครั้งที่ 2	34.90	10.36	9.64
แซ่ในน้ำฟเฟอร์ pH 5.0 เป็นเวลา 20 นาที ครั้งที่ 3	37.76	8.00	10.44
แซ่ในน้ำฟเฟอร์ pH 4.5 เป็นเวลา 20 นาที หลังจากแซ่ในน้ำฟเฟอร์ pH 5.0 ครั้งที่ 1	35.39	13.18	10.26
แซ่ในน้ำฟเฟอร์ pH 4.5 เป็นเวลา 20 นาที หลังจากแซ่ในน้ำฟเฟอร์ pH 5.0 ครั้งที่ 2	33.18	13.59	9.16
แซ่ในน้ำฟเฟอร์ pH 4.5 เป็นเวลา 20 นาที หลังจากแซ่ในน้ำฟเฟอร์ pH 5.0 ครั้งที่ 3	37.43	11.86	9.40
แซ่ในน้ำฟเฟอร์ pH 5.0 เป็นเวลา 10 นาที ครั้งที่ 1	34.35	13.33	9.22
แซ่ในน้ำฟเฟอร์ pH 5.0 เป็นเวลา 10 นาที ครั้งที่ 2	34.14	13.01	9.63
แซ่ในน้ำฟเฟอร์ pH 5.0 เป็นเวลา 10 นาที ครั้งที่ 3	32.53	13.21	9.54
แซ่ในน้ำฟเฟอร์ pH 4.5 เป็นเวลา 10 นาที หลังจากแซ่ในน้ำฟเฟอร์ pH 5.0 ครั้งที่ 1	32.87	14.83	10.85
แซ่ในน้ำฟเฟอร์ pH 4.5 เป็นเวลา 10 นาที หลังจากแซ่ในน้ำฟเฟอร์ pH 5.0 ครั้งที่ 2	32.99	16.37	8.80
แซ่ในน้ำฟเฟอร์ pH 4.5 เป็นเวลา 10 นาที หลังจากแซ่ในน้ำฟเฟอร์ pH 5.0 ครั้งที่ 3	33.94	15.08	9.13
แซ่ในน้ำฟเฟอร์ pH 5.0 เป็นเวลา 5 นาที ครั้งที่ 1	32.59	15.67	7.05
แซ่ในน้ำฟเฟอร์ pH 5.0 เป็นเวลา 5 นาที ครั้งที่ 2	34.01	14.89	7.30
แซ่ในน้ำฟเฟอร์ pH 5.0 เป็นเวลา 5 นาที ครั้งที่ 3	31.72	15.72	7.60
แซ่ในน้ำฟเฟอร์ pH 4.5 เป็นเวลา 5 นาที หลังจากแซ่ในน้ำฟเฟอร์ pH 5.0 ครั้งที่ 1	30.91	17.42	7.53

ตาราง 7 (ต่อ)

ตัวอย่าง	ผลการทดลอง		
	L*	a*	b*
แซ่ในบัฟเฟอร์ pH 4.5 เป็นเวลา 5 นาที หลังจากแซ่ในบัฟเฟอร์ pH 5.0 ครั้งที่ 2	33.43	17.15	8.41
แซ่ในบัฟเฟอร์ pH 4.5 เป็นเวลา 5 นาที หลังจากแซ่ในบัฟเฟอร์ pH 5.0 ครั้งที่ 3	33.55	17.47	8.47

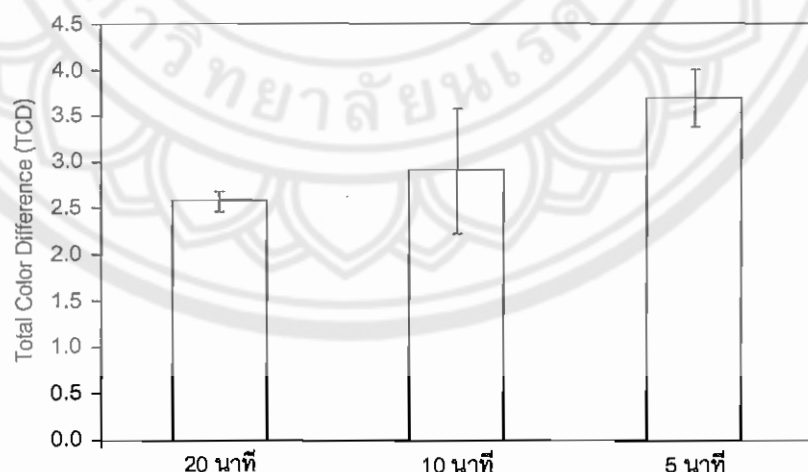
และคำนวณหาค่าของความแตกต่างโดยรวมของสีจากสมการ (Francis, Fj., 1983)

$$\text{Total color difference (TCD, } \Delta E) = [(L^*_{1,} - L^*_{2,})^2 + (a^*_{1,} - a^*_{2,})^2 + (b^*_{1,} - b^*_{2,})^2]^{1/2}$$

โดยที่

$L^*_{1,}$, $a^*_{1,}$ และ $b^*_{1,}$ คือ ค่าความสว่าง ค่าความแดง และค่าความเหลืองของสีที่ 1

$L^*_{2,}$, $a^*_{2,}$ และ $b^*_{2,}$ คือ ค่าความสว่าง ค่าความแดง และค่าความเหลืองของสีที่ 2



ภาพ 41 แผนภูมิเปรียบเทียบค่าความแตกต่างโดยรวมของสีที่แซ่ในสารละลายบัฟเฟอร์ในระยะเวลาที่แตกต่างกัน ตามแนวทางที่ 1

จากผลการทดลองการหาค่าความแตกต่างโดยรวมของสีเม็ดสารประกอบแอนโธ-ไซยานินส์-ไคโตซานที่ทดสอบกับสารละลายน้ำ pH 4.5 และ 5.0 ที่ระยะเวลา 20, 10 และ 5 นาที ตามแนวทางที่ 1 พบว่า มีค่าเท่ากับ 2.58 (± 0.10), 2.90 (± 0.67) และ 3.69 (± 0.31) ตามลำดับ ซึ่งค่าความแตกต่างโดยรวมของสีมีค่าที่ต่างกว่า 5 ซึ่งทางของมนุษย์ไม่สามารถแยกแยะ สีได้ ดังนั้น หากจะใช้ตัวชี้วัดที่พัฒนาขึ้นนี้ติดกับบรรจุภัณฑ์เพื่อติดตามการเปลี่ยนแปลง pH ของ ผลิตภัณฑ์แทนน์ เพื่อตอบสนองความต้องการของผู้ประกอบการนั้น ยังไม่สามารถทำได้ ยังจะต้อง มีการพัฒนาเพื่อให้ค่าความแตกต่างโดยรวมของสีให้มีค่ามากกว่านี้

1.2 การศึกษาเวลาที่ใช้ในการทดสอบที่เหมาะสมของตัวชี้วัดที่พัฒนาขึ้น แนวทางที่ 2

การทดลองในแนวทางที่ 2 ถูกออกแบบมาเพื่อทดสอบประสิทธิภาพของตัวชี้วัดที่ พัฒนาขึ้นว่าจะสามารถตอบสนองต่อความต้องการของผู้บริโภคได้หรือไม่ โดยผู้บริโภคจะนำ ตัวชี้วัดที่พัฒนาขึ้นนี้ไปใช้ทดสอบกับผลิตภัณฑ์แทนน์ที่ซื้อมา เพื่อป้องชี้ถึงความปลอดภัยต่อ การบริโภค ซึ่งจากการทดลอง เมื่อนำเม็ดสารประกอบแอนโธ-ไซยานินส์-ไคโตซานที่เตรียมได้ มาทดสอบการเปลี่ยนสีในสารละลายน้ำ pH เพอร์ เพื่อหาเวลาที่เหมาะสมตามแนวทางที่ 2 และ เมื่อทดสอบด้วยเทคนิค spectrophotometry เพื่อหาค่าสี โดยใช้การวัดสีในระบบ CIELAB เพื่อวัด ค่า L*, a*, b* ซึ่งนำไปร่วมทางคณิตศาสตร์ช่วยในการคำนวณ ได้ผลการทดลองดังตาราง 8

ตาราง 8 ค่าสี (L*, a*, b*) ของเม็ดสารประกอบแอนโธ-ไซยานินส์-ไคโตซานที่ทดสอบด้วย สารละลายน้ำ pH 4.5 และ 5.0 ที่ระยะเวลาต่างๆ ตามแนวทางที่ 2

ตัวอย่าง	ผลการทดลอง		
	L*	a*	b*
แข็งในน้ำ pH 4.5 เป็นเวลา 20 นาที ครั้งที่ 1	29.28	25.47	-2.58
แข็งในน้ำ pH 4.5 เป็นเวลา 20 นาที ครั้งที่ 2	31.47	24.59	-2.64
แข็งในน้ำ pH 4.5 เป็นเวลา 20 นาที ครั้งที่ 3	32.28	23.15	-2.32
แข็งในน้ำ pH 5.0 เป็นเวลา 20 นาที ครั้งที่ 1	31.26	14.73	0.07
แข็งในน้ำ pH 5.0 เป็นเวลา 20 นาที ครั้งที่ 2	35.60	13.84	0.85
แข็งในน้ำ pH 5.0 เป็นเวลา 20 นาที ครั้งที่ 3	34.25	13.11	0.07
แข็งในน้ำ pH 4.5 เป็นเวลา 10 นาที ครั้งที่ 1	25.01	28.94	-3.81
แข็งในน้ำ pH 4.5 เป็นเวลา 10 นาที ครั้งที่ 2	30.44	29.88	-4.07

ตาราง 8 (ต่อ)

ตัวอย่าง	ผลการทดลอง		
	L*	a*	b*
เชื่อมันบัฟเฟอร์ pH 4.5 เป็นเวลา 10 นาที ครั้งที่ 3	26.89	30.41	-3.12
เชื่อมันบัฟเฟอร์ pH 5.0 เป็นเวลา 10 นาที ครั้งที่ 1	33.00	16.03	-1.77
เชื่อมันบัฟเฟอร์ pH 5.0 เป็นเวลา 10 นาที ครั้งที่ 2	32.92	16.40	-0.74
เชื่อมันบัฟเฟอร์ pH 5.0 เป็นเวลา 10 นาที ครั้งที่ 3	31.30	17.76	-0.71
เชื่อมันบัฟเฟอร์ pH 4.5 เป็นเวลา 5 นาที ครั้งที่ 1	22.72	33.04	-4.40
เชื่อมันบัฟเฟอร์ pH 4.5 เป็นเวลา 5 นาที ครั้งที่ 2	24.82	32.55	-4.37
เชื่อมันบัฟเฟอร์ pH 4.5 เป็นเวลา 5 นาที ครั้งที่ 3	26.07	31.25	-3.82
เชื่อมันบัฟเฟอร์ pH 5.0 เป็นเวลา 5 นาที ครั้งที่ 1	30.05	24.73	-4.22
เชื่อมันบัฟเฟอร์ pH 5.0 เป็นเวลา 5 นาที ครั้งที่ 2	29.08	22.55	-2.71
เชื่อมันบัฟเฟอร์ pH 5.0 เป็นเวลา 5 นาที ครั้งที่ 3	31.63	21.59	-2.37
เชื่อมันบัฟเฟอร์ pH 4.5 เป็นเวลา 1 นาที ครั้งที่ 1	23.59	41.65	-7.40
เชื่อมันบัฟเฟอร์ pH 4.5 เป็นเวลา 1 นาที ครั้งที่ 2	21.12	41.15	-6.23
เชื่อมันบัฟเฟอร์ pH 4.5 เป็นเวลา 1 นาที ครั้งที่ 3	19.93	39.32	-5.61
เชื่อมันบัฟเฟอร์ pH 5.0 เป็นเวลา 1 นาที ครั้งที่ 1	22.90	31.84	-6.36
เชื่อมันบัฟเฟอร์ pH 5.0 เป็นเวลา 1 นาที ครั้งที่ 2	21.67	34.36	-7.11
เชื่อมันบัฟเฟอร์ pH 5.0 เป็นเวลา 1 นาที ครั้งที่ 3	22.00	33.50	-7.07

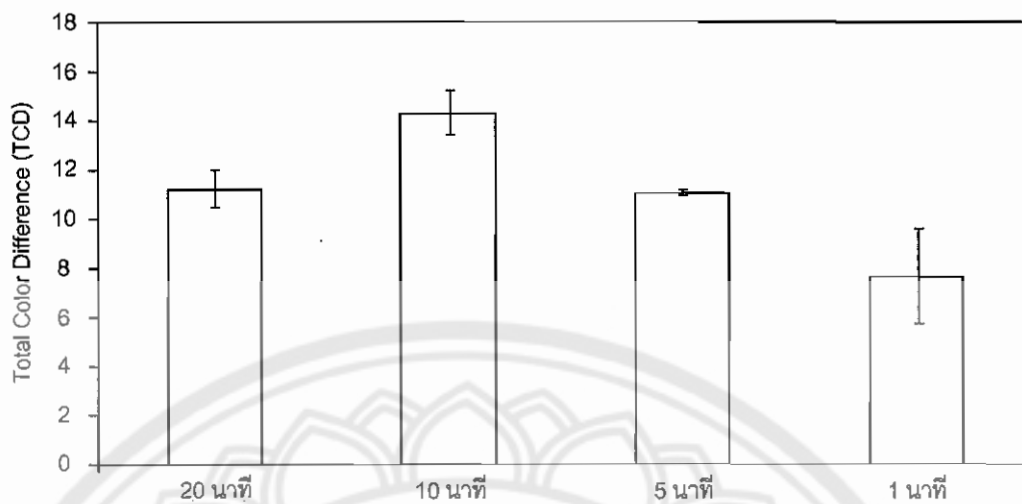
และคำนวณหาค่าของความแตกต่างโดยรวมของสีจากสมการ (Francis, Fj., 1983)

$$\text{Total color difference (TCD, } \Delta E) = [(L^*_{1,} - L^*_{2,})^2 + (a^*_{1,} - a^*_{2,})^2 + (b^*_{1,} - b^*_{2,})^2]^{1/2}$$

โดยที่

$L^*_{1,}$, $a^*_{1,}$, และ $b^*_{1,}$ คือ ค่าความสว่าง ค่าความแดง และค่าความเหลืองของสีที่ 1

$L^*_{2,}$, $a^*_{2,}$ และ $b^*_{2,}$ คือ ค่าความสว่าง ค่าความแดง และค่าความเหลืองของสีที่ 2



ภาพ 42 แผนภูมิเปรียบเทียบค่าความแตกต่างของสีรวมที่แข็งในสารละลายน้ำฟเฟอร์ในระยะเวลาที่แตกต่างกัน ตามแนวทางที่ 2

จากการทดลองการหาค่าความแตกต่างโดยรวมของสีเม็ดสารประกอบแอนโธไซยานินส์-ไคโตซานที่ทดสอบกับสารละลายน้ำฟเฟอร์ pH 4.5 และ 5.0 ที่ระยะเวลา 20, 10, 5 และ 1 นาที ตามแนวทางที่ 2 พบร่วมกับ 11.26 (± 0.76), 14.35 (± 0.88), 11.11 (± 0.12) และ 7.70 (± 1.91) ตามลำดับ ซึ่งการเปลี่ยนสีของเม็ดสารประกอบแอนโธไซยานินส์-ไคโตซานในสารละลายน้ำฟเฟอร์ pH 4.5 และ 5.0 เป็นเวลานาน 10 นาทีจะให้ค่าความแตกต่างโดยรวมของสีสูงสุด และอยู่ในช่วงที่สามารถแยกแยะสีได้ ดังนั้นตัวชี้วัดที่พัฒนาขึ้นนี้จึงมีความเหมาะสมกับผู้บริโภค โดยสามารถทำการใช้ตัวชี้วัดปัจจุบันความปลอดภัยต่อการบริโภคผลิตภัณฑ์ประเภทแห่งนี้ได้

2. ศึกษาความเสถียรของตัวชี้วัดที่พัฒนาขึ้น

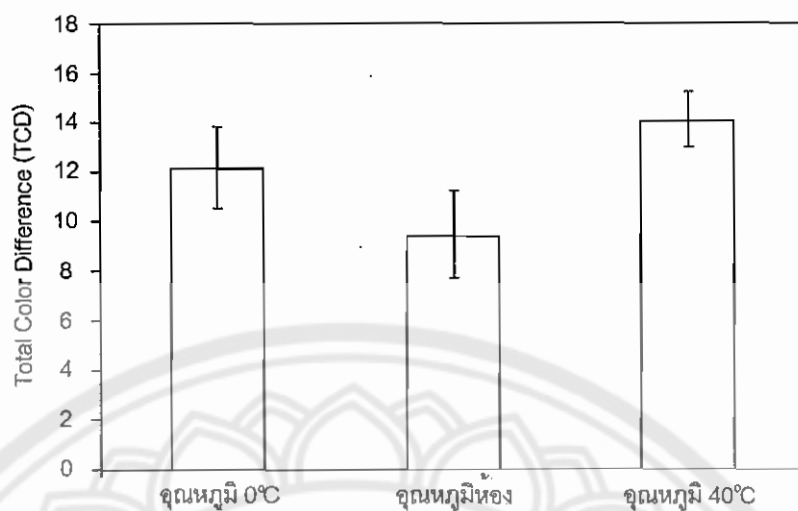
เนื่องจากเม็ดสารประกอบแอนโธไซยานินส์-ไคโตซานที่เตรียมขึ้นนี้ต้องการพัฒนาเพื่อให้สามารถนำไปใช้ได้ชี้วัดความปลอดภัยต่อการบริโภคแห่งนี้ได้จริง ดังนั้นจึงมีความจำเป็นที่จะต้องทำการทดสอบตัวชี้วัดที่พัฒนาขึ้นนี้ในสภาวะต่างๆ ซึ่งได้ออกแบบให้มีลักษณะคล้ายกับสภาวะที่ผู้บริโภคจะนำไปใช้งานจริง

จากการทดลองเมื่อนำเม็ดสารประกอบสารแอนโธไซยานินส์-ไคโตซานที่ได้มาเข้าในสารละลายน้ำฟเฟอร์ที่ pH 4.5 และ 5.0 จำนวน 10 มิลลิลิตร เป็นระยะเวลา 10 นาที จากนั้นนำเม็ดสารประกอบแอนโธไซยานินส์-ไคโตซานที่ได้ไปทดสอบ ณ สภาวะต่างๆ (ที่อุณหภูมิ 0 °C, อุณหภูมิห้อง, 40 °C, และภายใต้สภาวะแสงฟลูออเรสเซนต์) เป็นเวลา 1 ชั่วโมง ทดสอบด้วย

เทคนิค Spectrophotometry เพื่อหาค่าสี โดยใช้การวัดสีในระบบ CIELAB เพื่อวัดค่า L*, a*, b* ซึ่งได้ปรับแกมทางคอมพิวเตอร์ช่วยในการคำนวณ ให้ผลการทดลองดังตาราง 9

ตาราง 9 ค่าสี (L*, a*, b*) ของเม็ดสารประกอบแอนโอลิยาโนส-ไดโซนที่ทดสอบด้วยสารละลายน้ำมัน pH 4.5 และ 5.0 ณ อุณหภูมิต่างๆ

ตัวอย่าง	ผลการทดลอง		
	L*	a*	b*
แซ่บฟเฟอร์ pH 4.5 ณ อุณหภูมิ 0°C ครั้งที่ 1	22.94	30.61	-4.16
แซ่บฟเฟอร์ pH 4.5 ณ อุณหภูมิ 0°C ครั้งที่ 2	28.51	27.31	-3.94
แซ่บฟเฟอร์ pH 4.5 ณ อุณหภูมิ 0°C ครั้งที่ 3	26.2	29.05	-3.45
แซ่บฟเฟอร์ pH 5.0 ณ อุณหภูมิ 0°C ครั้งที่ 1	30.05	19.89	-1.56
แซ่บฟเฟอร์ pH 5.0 ณ อุณหภูมิ 0°C ครั้งที่ 2	29.94	17.52	-1.15
แซ่บฟเฟอร์ pH 5.0 ณ อุณหภูมิ 0°C ครั้งที่ 3	32.11	17.65	-1.03
แซ่บฟเฟอร์ pH 4.5 ณ อุณหภูมิห้อง ครั้งที่ 1	30.43	24.03	-1.93
แซ่บฟเฟอร์ pH 4.5 ณ อุณหภูมิห้อง ครั้งที่ 2	30.92	26.06	-1.91
แซ่บฟเฟอร์ pH 4.5 ณ อุณหภูมิห้อง ครั้งที่ 3	31.89	24.56	-0.86
แซ่บฟเฟอร์ pH 5.0 ณ อุณหภูมิห้อง ครั้งที่ 1	32.83	17.08	0.38
แซ่บฟเฟอร์ pH 5.0 ณ อุณหภูมิห้อง ครั้งที่ 2	34.90	15.86	0.39
แซ่บฟเฟอร์ pH 5.0 ณ อุณหภูมิห้อง ครั้งที่ 3	31.07	15.38	0.72
แซ่บฟเฟอร์ pH 4.5 ณ อุณหภูมิ 40°C ครั้งที่ 1	27.81	26.37	-2.11
แซ่บฟเฟอร์ pH 4.5 ณ อุณหภูมิ 40°C ครั้งที่ 2	32.03	26.03	-2.29
แซ่บฟเฟอร์ pH 4.5 ณ อุณหภูมิ 40°C ครั้งที่ 3	26.88	25.26	-1.58
แซ่บฟเฟอร์ pH 5.0 ณ อุณหภูมิ 40°C ครั้งที่ 1	35.60	14.34	2.12
แซ่บฟเฟอร์ pH 5.0 ณ อุณหภูมิ 40°C ครั้งที่ 2	35.39	14.40	1.87
แซ่บฟเฟอร์ pH 5.0 ณ อุณหภูมิ 40°C ครั้งที่ 3	34.50	13.33	1.83



ภาพ 43 แผนภูมิเปรียบเทียบค่าความแตกต่างโดยรวมของสี ณ อุณหภูมิต่างๆ

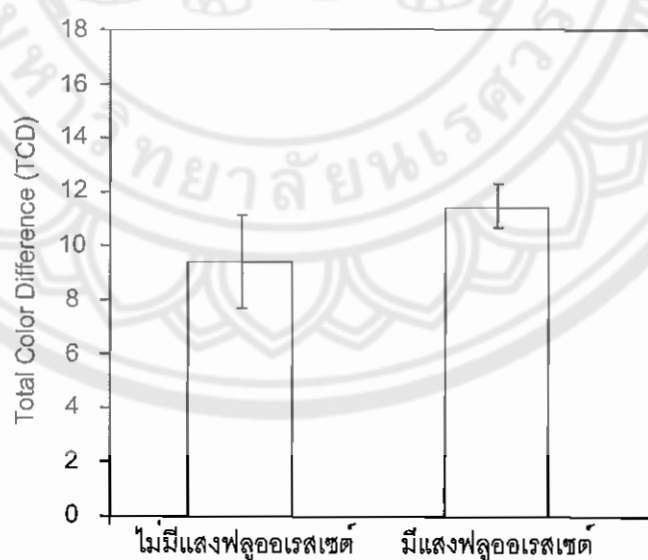
จากผลการทดลองการหาค่าความแตกต่างโดยรวมของสีเม็ดสารประกอบเอนโซ-ไฮยานินส์-โคโตชานที่ผ่านการทดสอบในสารละลายน้ำ pH 4.5 และ 5.0 ที่อุณหภูมิ 0 °C, อุณหภูมิห้อง และอุณหภูมิห้อง 40 °C ได้ค่าเท่ากับ 12.16 (± 1.63), 9.42 (± 1.74), และ 14.10 (± 1.41) ตามลำดับ โดยพบว่าที่อุณหภูมิ 40 °C จะให้ค่าความแตกต่างโดยรวมของสีมากที่สุด ซึ่งสาเหตุที่เป็นเช่นนี้จะเกิดจากที่อุณหภูมิสูง 40 °C ทำให้สารละลายชนิดที่เป็นองค์ประกอบในเม็ดโคโตชานอาจเกิดอันตรกิริยาต่อกันได้มากขึ้น และอาจทำให้เกิดสารประกอบในรูปแบบหรือโครงสร้างที่มีความแตกต่างกันจำนวนมาก ประกอบกับค่า pH ที่แตกต่างกันน่าจะทำให้การเกิดสารองค์ประกอบต่างๆ ที่มีความแตกต่างกันเพิ่มมากขึ้น ดังนั้นการเปลี่ยนแปลงค่าสี (L^* , a^* , b^*) ของสารเอนโซ-ไฮยานินส์ที่อยู่ในสภาพแวดล้อมของสารองค์ประกอบที่แตกต่างกันมากนี้ อาจส่งผลให้ค่าความแตกต่างโดยรวมของสี (TCD) ของเม็ดสารประกอบเอนโซ-ไฮยานินส์-โคโตชาน ในสารละลายน้ำ pH 4.5 และ 5.0 มีความแตกต่างกันมากขึ้นตามไปด้วย

ตาราง 10 ค่าสี (L^* , a^* , b^*) ของเม็ดสารประกอบเอนโซ-ไฮยานินส์-โคโตชานที่ทดสอบด้วยสารละลายน้ำ pH 4.5 และ 5.0 ณ สภาวะที่มีและไม่มีแสงฟลูออเรสเซนต์

ตัวอย่าง	ผลการทดลอง		
	L^*	a^*	b^*
ปี๊ดที่แข็งในน้ำ pH 4.5 ณ สภาวะไม่มีแสง ครั้งที่ 1	30.43	24.03	-1.93

ตาราง 10 (ต่อ)

ตัวอย่าง	ผลการทดลอง		
	L*	a*	b*
บีดที่แข็งในบัฟเฟอร์ pH 4.5 ณ สภาวะไม่มีแสง ครั้งที่ 2	30.92	26.06	-1.91
บีดที่แข็งในบัฟเฟอร์ pH 4.5 ณ สภาวะไม่มีแสง ครั้งที่ 3	31.89	24.56	-0.86
บีดที่แข็งในบัฟเฟอร์ pH 5.0 ณ สภาวะไม่มีแสง ครั้งที่ 1	32.83	17.08	0.38
บีดที่แข็งในบัฟเฟอร์ pH 5.0 ณ สภาวะไม่มีแสง ครั้งที่ 2	34.9	15.86	0.39
บีดที่แข็งในบัฟเฟอร์ pH 5.0 ณ สภาวะไม่มีแสง ครั้งที่ 3	31.07	15.38	0.72
บีดที่แข็งในบัฟเฟอร์ pH 4.5 ณ สภาวะมีแสง ครั้งที่ 1	28.82	26.71	-2.3
บีดที่แข็งในบัฟเฟอร์ pH 4.5 ณ สภาวะมีแสง ครั้งที่ 2	29.23	27.93	-2.73
บีดที่แข็งในบัฟเฟอร์ pH 4.5 ณ สภาวะมีแสง ครั้งที่ 3	29.62	26.43	-2.51
บีดที่แข็งในบัฟเฟอร์ pH 5.0 ณ สภาวะมีแสง ครั้งที่ 1	32.53	15.82	0.28
บีดที่แข็งในบัฟเฟอร์ pH 5.0 ณ สภาวะมีแสง ครั้งที่ 2	31.35	16.30	-0.14
บีดที่แข็งในบัฟเฟอร์ pH 5.0 ณ สภาวะมีแสง ครั้งที่ 3	30.16	16.04	-0.67



ภาพ 44 แผนภูมิเปรียบเทียบค่าความแตกต่างโดยรวมของสี
ณ สภาวะที่มีแสงและไม่มีแสงพลูอօเรสเซนต์

จากผลการทดลองการหาค่าความแตกต่างโดยรวมของสีเม็ดสารประกอบแอนโนโธไซยา-นินส์-โคโตชานที่ผ่านการทดสอบในสารละลายน้ำฟเฟอร์ pH 4.5 และ 5.0 ณ สภาวะที่มีและไม่มีแสงฟลูออเรสเซนต์ ได้ค่าเท่ากับ $9.42 (\pm 1.74)$ และ $11.49 (\pm 0.81)$ ตามลำดับ ซึ่งโดยทั่วไปแล้วนั้น สารแอนโนโธไซยานินส์จะเกิดการสลายตัวเมื่ออุ่นในสภาวะที่มีแสง โดยเฉพาะอย่างยิ่ง ซึ่งแสง UV แต่ในงานวิจัยนี้ได้ทำการศึกษาแสงที่เกิดจากหลอดฟลูออเรสเซนต์ ในสภาวะที่ใกล้เคียงกับสภาวะที่มีการใช้งานจริง ซึ่งจะมีความเข้มของแสงในช่วง UV ที่ต่ำ และมีระยะเวลาที่ใช้ในการทดสอบสั้น แสงฟลูออเรสเซนต์ดังกล่าว จึงไม่ได้ส่งผลกระทบต่อการเปลี่ยนแปลงโครงสร้างของแอนโนโธไซยานินส์มากนัก ดังนั้น ค่าความแตกต่างโดยรวมของสีเม็ดสารประกอบแอนโนโธไซยานินส์-โคโตชาน จึงไม่มีความแตกต่างกัน

